

# 実蒸発散量推定法の比較検討 ---補完法と葉温飽差-相似則法---

○松江高専 土木工学科 正員 金子大二郎  
中央大学 総合政策学部 正員 日野 幹雄

## 1. はじめに

我々は、Landsat TM から得られる森林域の地表面温度と気象台ルーチンデータを用い、葉温における飽差とMonin-Obukhov則を連結した潜熱フラックスの算定法を提案して来た(金子・日野, 1993, 1994)。この方法を検証するために、Parlange and Katul(1992)が拡張した補完法と、前述の葉温飽差-相似則法による大気安定度の推定法と気温推定法(金子, 1994)とを組合せた方法を用い、葉温飽差-相似則法による潜熱フラックスの推定法を検証したので報告する。

## 2. 広域実蒸発散量の推定法

2. 1 Advection-aridity 補完法 Bouchet(1963)が提案し、Brutsaert and Stricker(1979)が修正した補完法は、次の通りである。実蒸発散量 $E_{ac}$ は、Penman蒸発位 $E_0$ との補完関係から、平衡蒸発量(改めて名付ける) $E_{eo}$ を介して式(1)により得られる。

$$E_{ac} = 2E_{eo} - E_0 \quad (1)$$

平衡蒸発量 $E_{eo}$ は Priestley and Taylor (1972) の $\alpha$ を用いて式(2)によって表される。

$$E_{eo} = \alpha \frac{\Delta}{\Delta + \gamma} (R_n - G) \quad (2)$$

$$E_p = \frac{\Delta}{\Delta + \gamma} \cdot (R_n - G) + \frac{\gamma}{\Delta + \gamma} \cdot E_a \quad (3)$$

$$E_a = \kappa U \cdot \rho (q_{ac} - q_a) [\ln(\frac{z-d_B}{z_{Bv}}) - \Psi_v(\frac{z-d_B}{L})]^{-1} \quad (4)$$

ここに  $\kappa$ : カルマン定数,  $U$ : 摩擦速度,  
 $\rho$ : 空気の密度,  $q_{ac}$ : 空気の飽和比湿,  
 $q_a$ : 空気の比湿  $\Psi'$ : 安定度補正関数

Parlange and Katul (1992) は、式(3)の空気乾燥力項 $E_a$ をMonin-Obukhov則と組合せ、式(4)によって表した。摩擦速度 $U$ とObukhov長さの推定も、Monin-Obukhov則を利用している。補完法による実蒸発散量 $E_{ac}$ は、式(5)によって得られる。

$$E_{ac} = (2\alpha - 1) \cdot \frac{\Delta}{\Delta + \gamma} (R_n - G) + \frac{\gamma}{\Delta + \gamma} \cdot \frac{\kappa U \cdot \rho (q_{ac} - q_a)}{\Psi_h(\zeta) - \Psi_h(\zeta_B)} \quad (5)$$

Katul and Parlange (1992) は、式(5)の飽差( $q_{ac} - q_a$ )に実測値を用いた。我々は、これを Monin-Obukhov 則により推定した。すなわち我々の方法は、気温推定法(金子, 1994)によって気温の非一様な平面分布を算定した後、この気温における飽和比湿 $q_{ac}$ を求め、空気乾燥力項 $E_a$ を推定した。

2. 2 葉温飽差-相似則法 式(6)によって表される潜熱フラックスは、葉温飽差-相似則法によ

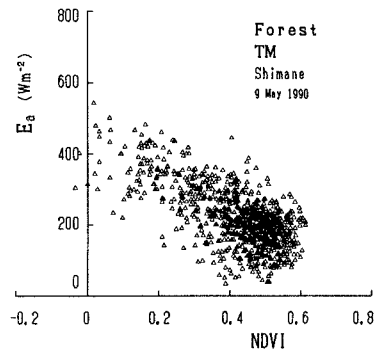


図-1 空気乾燥力項 $E_a$ と植生指標の関係

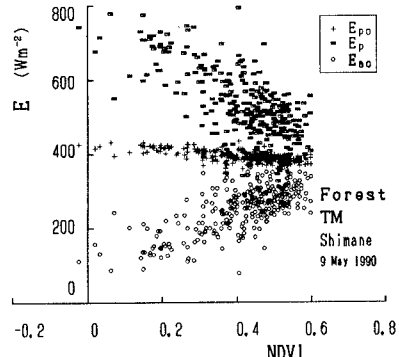


図-2 植生指標に対するPenman蒸発位

$E_0$ と実蒸発散量 $E_{ac}$ の補完関係

る式(7)によって推定することができる。

$$E_e = -\rho_1 U_* q \quad (6)$$

$$= -\frac{\rho_1 \kappa^2}{[\Psi_m(\zeta) - \Psi_m(\zeta_0)] \cdot [\Psi_h(\zeta) - \Psi_h(\zeta_0)]} \cdot U(z) \cdot (a_c \alpha_{NDVI} \beta_s) \cdot (q_c - q_a) \quad (7)$$

ここに  $\rho_1$ : 水の気化熱,  $z_0$ : 粗度長,

$U(z)$ : 風速  $U$ , 気温  $T_a$ , 比湿  $q$  を測定した高さ,

$\zeta$ : 無次元高さ  $\zeta = (z - z_0)/L$ ,  $a_c$ : 変換係数,

$\alpha_{NDVI}$ : 有効葉面積指數,  $\beta_s$ : 気孔開度,

$q_c$ : 葉温での飽和比湿,  $\Psi$ : 普遍関数の積分

### 3. 補完法と葉温飽差-相似則法との比較

#### 3. 1 補完法による実蒸発散量

図-1に空気乾燥力項  $E_e$  と植生指標 NDVI との関係を示した。推定対象は、森林域についてである。植生指標 NDVI に対する Penman 蒸発位  $E_e$  と実蒸発散量  $E_{ec}$  の補完関係を図-2に示した。植生指標が大きくなると共に、地表が湿潤面に近づくことから、式(2)による Penman 蒸発位  $E_e$  が減少し、実蒸発散量  $E_{ec}$  が増大している。

#### 3. 2 葉温飽差-相似則法による潜熱フラックス

我々の方法の葉温飽差-相似則法によって推定された潜熱フラックス  $E_e$  について、式(5)から計算された補完法の推定値  $E_{ec}$  による検証結果を図-4に示した。地表面温度降下法の  $E_e$  は、補完法による  $E_{ec}$  とほぼ一致し、葉温飽差-相似則法による潜熱フラックスの推定法が検証された。逆に、従来いまだ仮説とされた補完法も、衛星データの Pixel 程度の小範囲についても補完関係が成立することを、葉温飽差-相似則法により検証している。

#### 4. おわりに

葉温飽差-相似則法による潜熱フラックスの推定を、実蒸発散量推定法の一つである Advection-aridity 補完法によって検証した。結論は以下の通りである。

1) 葉温飽差-相似則法による潜熱フラックスの推定値が、補完法の推定値とほぼ一致し、葉温飽差-相似則法による一つの検証がなされた。

2) Penman 法による蒸発位と実蒸発散量との間の補完関係は、広域ばかりでなく小地域（すなわち、ピクセル毎）でも成立している。

参考文献 1) Katul, G.G. and M.B. Parlange: Estimation of bare soil evaporation using skin temperature measurements, Journal of Hydrology, 132, 91-106, 1992.

2) 金子大二郎, 日野幹雄 : 植生指標による蒸発散面積率の提案と Monin-Obukhov 相似則に基づく都市域の潜熱フラックスの算定, 第48回年次学術講演会講演概要集 II-124, 346-347, 1993.

3) 金子大二郎, 日野幹雄 : TM 植生指標と気象台ルーチンデータを用いた広域森林における熱収支の算定法の提案と検討, 水文・水資源学会誌, 7(1), 10-21, 1994.

4) Parlange, M.B., and G.G. Katul: An advection-aridity evaporation model, Water Resources Research, 28(1), 127-132, 1992.

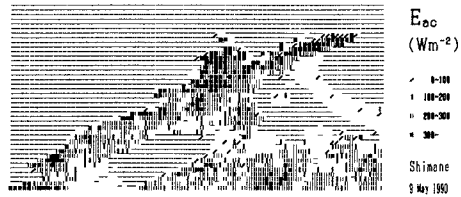


図-3 補完法による実蒸発散量  $E_{ec}$  の平面分布

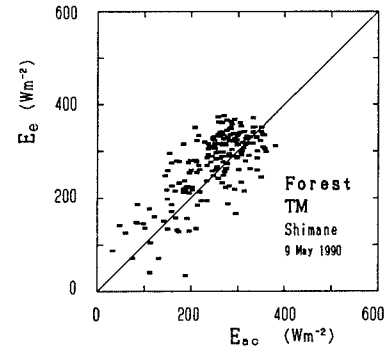


図-4 葉温飽差-相似則法の  $E_e$  に対する補完法による検証